

# سنتز کامپوزیت نانوکریستالیت کربونیتریدتیتانیوم (C,N) Ti

## در زمینه اسپینل آلومینات منیزیم

الله خوش‌آمید اقدم<sup>۱</sup>, حمیدرضا رضایی<sup>۲</sup>, سعید باغشاهی<sup>۳</sup>, رحیم نقی‌زاده<sup>۲</sup>

<sup>۱</sup>دانشکده مهندسی مواد، واحد علوم و تحقیقات، دانشگاه آزاد اسلامی

<sup>۲</sup>دانشکده مهندسی مواد و متالورژی، دانشگاه علم و صنعت ایران

<sup>۳</sup>دانشگاه بین‌المللی امام خمینی (ره)

e.khoshomid@yahoo.com

**چکیده:** کاربید و نیتریدتیتانیوم خواص فوق العاده به عنوان سرامیک دما بالا به علت نقطه ذوب بالا، مقاومت به سایش و خوردگی عالی دارند. کامپوزیت آنها با اسپینل  $MgAl_2O_4$  خواص خوب به عنوان دیرگداز در صنعت فولاد دارد. به منظور تهیه نانوکریستال‌های  $Ti(C,N)$  در زمینه  $MgAl_2O_4$  مخلوط استوکیومتری پودرهای  $Al$ ,  $MgO$ ,  $TiO_2$  و دوده‌کربن در دمای  $1600^{\circ}C$  ایکس استفاده شد. نتایج آنالیز XRD نشان داد که کامپوزیت  $MgAl_2O_4Ti(C,N)$  در دمای  $1600^{\circ}C$  تشکیل می‌شود. فاز  $Ti(C,N)$  با سایز متوسط کربیستالیت  $35nm$  تشکیل می‌گردد. تصاویر SEM نشان می‌دهد فاز  $Ti(C,N)$  در زمینه اسپینل تشکیل شده است.

**کلمات کلیدی:** کامپوزیت، اسپینل،  $Ti(C,N)$ , ریزساختار.

### ۱- مقدمه

اسپینل  $MgAl_2O_4$  به علت ضریب انبساط حرارتی مناسب ( $7/6 \times 10^{-6}$ ), مقاومت بالا در برابر شوک حرارتی، نقطه ذوب بالا ( $2135^{\circ}C$ ) و مقاومت خوب در برابر خوردگی توسط مذاب‌های قلیایی و اسیدی به طور وسیعی در کاربردهای مختلف نسوزهای مصرفی در کوره‌های سیمان و پاتیل‌های فولادی، سنسورهای رطوبتی، مواد سرامیکی شفاف و به عنوان پایه کاتالیست در صنایع نفت استفاده می‌شود [۱]. نیتریدتیتانیوم (TiN) دارای نقطه ذوب بالا ( $3950^{\circ}C$ ), سختی بالا ( $2160kg/mm^2$ ) و مقاومت خوب در برابر سرباره‌های اسیدی و قلیایی در اتمسفرهای نیتروژنی و احیایی است [۲]. کاربید تیتانیوم نیز دارای نقطه ذوب بالا ( $3260^{\circ}C$ ), سختی بالا، مقاومت شیمیایی بالا، هدایت الکتریکی ( $61\mu\Omega cm^{-1}$ ) و حرارتی بالا ( $33/2 Wm^{-1}c^{-1}$ ) می‌باشد [۳]. TiN به دلیل داشتن ساختار مکعبی F.C.C نوع نمک طعام، کاملاً در هم حل می‌شوند و محلول جامد کربونیتریدتیتانیوم (Ti(C,N)) می‌دهند که خواص مطلوب بالا را نیز دارد و در دمای بالا در برابر مذاب فولاد پایدارتر از TiC می‌باشد. بنابراین پتانسیل کاربردی فراوانی در پوشش‌ها، ابزار برش و سرمتهای دیرگدازهای کامپوزیتی دارد. با کامپوزیت کردن اسپینل با  $Ti(C,N)$  می‌توان خواص مکانیکی گرم و سرد اسپینل را بهبود داد [۴,۵]. کامپوزیت‌های  $MgAl_2O_4-Ti(C,N)$  خواص خوب و پتانسیل بالقوه‌ای برای استفاده در صنعت آلومینیم و فولاد دارد و در نسوزهای حاوی کربن به صورت درجا تشکیل می‌شوند. در دیرگدازهای حاوی گرافیت مثل  $Al_2O_3-MgO-C$  اسپینل اسپینل درجا موجب انبساط دیرگداز می‌گردد که سبب بسته شدن درزهای مابین آجرها و در نتیجه یکپارچه شدن جداره نسوزکاری شده می‌گردد و نفوذ و تراوش سرباره کاهش و مقاومت به خوردگی افزایش می‌یابد [۶]. در این دیرگدازها چنانچه از نانوکامپوزیت  $MgAl_2O_4-Ti(C,N)$  استفاده گردد یا به صورت درجا تشکیل گردد، می‌توان خواص مطلوب‌تری انتظار داشت. Yuanbing سنتز کامپوزیت  $MgAl_2O_4/TiN$  را به روش احیای آلومینوترمیک و در کوره اتمسفر

نیتروژنی در دمای  $1400^{\circ}\text{C}$  انجام داده است که از پودر آلومینیم تجاری،  $\text{TiO}_2$  آناتاس و  $\text{MgO}$  با خلوص بالا استفاده کرده است [۸,۷]. هدف از این تحقیق بررسی دمای تشکیل درجا کامپوزیت  $\text{MgAl}_2\text{O}_4\text{-Ti}(\text{C},\text{N})$  نانوکریستالیت با استفاده از مواد اولیه  $\text{MgO-Al-TiO}_2\text{-C}$  در بستر کک می‌باشد.

## ۲- روش‌های انجام آزمایش

مواد اولیه‌ی مورد استفاده در این تحقیق شامل پودر آلومینیوم (خلوص ۹۸٪، اندازه ذرات زیر ۴۵ میکرون)، تیتانیای مرک ( $3\mu\text{m}$ ، منیزیای مرک (Merck,  $4\mu\text{m}$ ) و دوده کربن به منظور ستبر پودر کامپوریتی  $\text{MgAl}_2\text{O}_4\text{-Ti}(\text{C},\text{N})$  می‌باشد. جدول ۱ آنالیز شیمیایی مواد مورد استفاده را نشان می‌دهد.

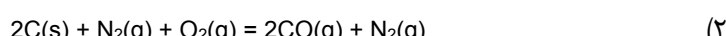
جدول ۱- آنالیز مواد اولیه (درصد وزنی)

<b>MgO</b>	<b>TiO<sub>2</sub></b>	<b>Fe<sub>2</sub>O<sub>3</sub></b>	<b>CaO</b>	<b>نوع ماده اولیه</b>
>۹۸	-	۰/۰۵	۱	منیزیای مرک
-	>۹۹	<۰/۰۵۵	-	تیتانیای مرک

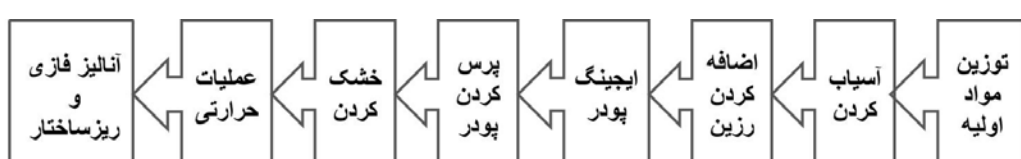
برای تهیه کامپوزیت‌های  $\text{MgAl}_2\text{O}_4\text{-Ti}(\text{C},\text{N})$ ، پودر آلومینیم، تیتانیا، منیزیا مطابق با نسبت استوکیومتری معادله ۱ همراه با ۱۰٪ دوده کربن با هم مخلوط و آسیاب شدند. هدف ساختن کامپوزیتی با ۵۰ درصد وزنی  $\text{MgAl}_2\text{O}_4$  و ۵۰ درصد وزنی  $\text{Ti}(\text{C},\text{N})$  بوده است.



نیتروژن موجود در معادله (۱) از بستر ککی تأمین می‌شود. همان‌طور که می‌دانیم هوا شامل ۲۱٪ اکسیژن و ۷۹٪ نیتروژن می‌باشد. در بستر ککی معادله (۲) اتفاق می‌افتد و پیوسته گاز  $\text{CO}$  و  $\text{N}_2$  تشکیل می‌شود.



پودرهای توزین شده به منظور اختلاط بهتر در فستمیل به مدت  $10\text{ min}$  به صورت خشک مخلوط شدند و به منظور پرس با ۳٪ رزین نووالاک مخلوط شدند. پودرهای حاصله پس از سپری کردن مرحله ایجینگ در هاون چینی آسیاب شدند تا پودری همگن از لحاظ توزیع چسب آن پدید آید. پودرها بعد از مخلوط شدن به مدت  $24\text{ h}$  در کیسه سربسته نگه داشته شدند. مقدار  $1/5$  گرم از پودرها توسط پرس تکمحوره در قالب فولادی با قطر و ارتفاع  $10\text{ mm}$  تحت فشار  $100\text{ MPa}$  به صورت قرص درآورده شدند. نمونه‌های حاصل از پرس به مدت  $3\text{ h}$  در دمای  $120^{\circ}\text{C}$  خشک شدند. شکل ۱ مراحل کلی انجام آزمایش را نشان می‌دهد.



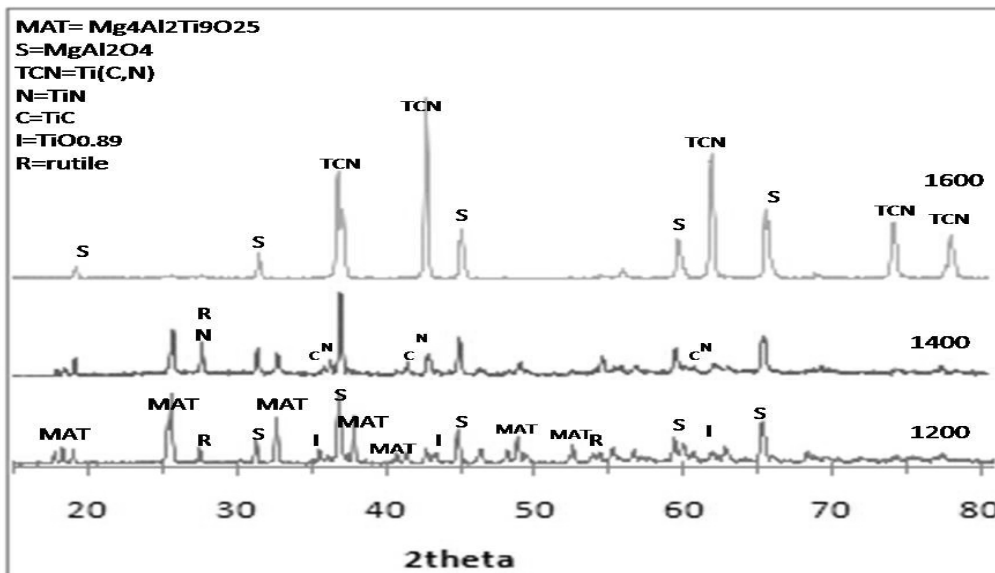
شکل ۱- فلوچارت کلی مراحل انجام کار

نمونه‌ها دربستر ککی در بوته سربسته قرار داده شدند، سپس در کوره الکتریکی قرار گرفته و در دماهای  $1200$ ،  $1400$  و  $1600^{\circ}\text{C}$  و زمان نگهداری  $3\text{ h}$  تحت عملیات حرارتی قرار گرفتند. به منظور آنالیز اشعه ایکس پودری با دانه‌بندی  $53\mu\text{m} <$  تهیه شد. آنالیز XRD توسط دستگاه دیفراکتومتر PHILIPS مدل PW1800 با تارگت مس ( $\text{CuK}\alpha$ )، فیلتر نیکل و ولتاژ کاربردی  $30\text{ kV}$  گرفته شد. به منظور بررسی ریزساختاری ابتداء نمونه‌های مناسبی از نمونه‌های بعد از پخت انتخاب شدند و پس از شکست نمونه‌ها، سطح مقطع آن‌ها

توسط دستگاه میکروسکوپ الکترونی شرکت VEGAIXMU مدل TE SCAN مورد مطالعه ریزساختاری قرار گرفتند.

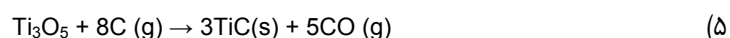
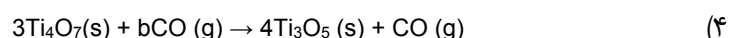
### ۳- نتایج و بحث

شکل ۲ الگوی XRD نمونه‌های حاوی بج‌های ترکیب استوکیومتری  $\text{Al}_2\text{O}_3$ ,  $\text{MgO}$ ,  $\text{C}$  و چسب رزینی در بستر ککی را در دماهای مختلف نشان می‌دهد. در دمای  $1200^{\circ}\text{C}$  فازهای اسپینل  $\text{MgAl}_2\text{O}_4$  و  $\text{MgAl}_2\text{O}_4$  و  $\text{Mg}_4\text{Al}_2\text{Ti}_9\text{O}_{25}$  (MAT) و اسپینل MA پیک‌های شاخص هستند، با افزایش دما تا  $1400^{\circ}\text{C}$  شدت پیک‌های MAT کاهش و شدت پیک‌های اسپینل MA افزایش می‌یابد و پیک‌های  $\text{TiC}$  و  $\text{TiN}$  نمایان می‌شود تا اینکه در دمای  $1600^{\circ}\text{C}$  کامپوزیت کاملی از اسپینل MA و  $\text{Ti}(\text{C},\text{N})$  داریم و پیک دیگری در حد شناسایی اشعه X دیده نمی‌شود.



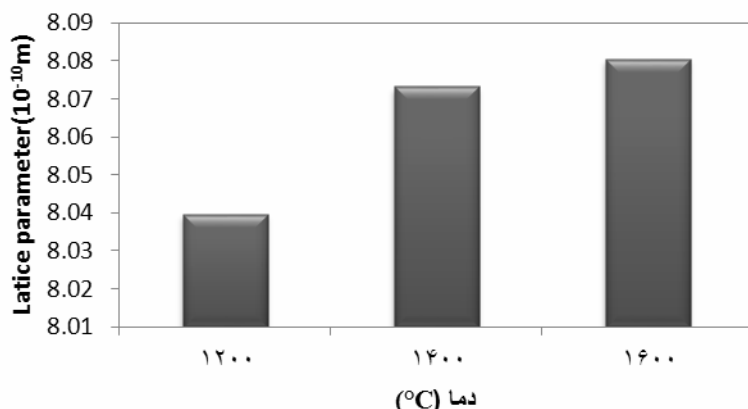
شکل ۲- الگوی XRD نمونه‌ها حاوی  $\text{Al}_2\text{O}_3$ ,  $\text{MgO}$ ,  $\text{C}$  و  $\text{TiO}_2$  پخته شده در دماهای  $1200$ ،  $1400$  و  $1600^{\circ}\text{C}$  در بستر کک.

وقتی دما از نقطه ذوب Al تجاوز می‌کند، مذاب Al در همه جا بخصوص در سطح پخش می‌شود، انتظار می‌رود  $\text{TiO}_2$  توسط Al احیا شود ولی این کار زمان بر است به طوری که  $\text{Al}_2\text{O}_3$ ,  $\text{Al}_2\text{O}_3$ ,  $\text{Ti}_2\text{O}_{2-x}$  و غیره عملاً وجود دارند، بنابراین احتمال واکنش فازهای فوق با  $\text{MgO}$ , کربن و  $\text{N}_2$  حاصل از اتمسفر وجود دارد، به طوری که در ابتدا اسپینل MA، فاز تیتانات آلومنینیم منیزیم (MAT)،  $\text{TiN}$  و غیره تشکیل می‌گردد. احیای  $\text{TiO}_2$  در بستر ککی و همچنین CO حاصل از آن به انواع اکسیدهای فرعی اکسیدتیتانیوم و در نهایت  $\text{TiC}$  می‌تواند مطابق واکنش‌های زیر صورت گیرد [۹]:



میانگین پارامتر شبکه اسپینل با استفاده از صفحات (۴۰۰)، (۴۲۰) و (۴۴۰) در دماهای  $1200$ ،  $1400$  و  $1600^{\circ}\text{C}$  با استفاده از رابطه ۶ محاسبه شد که نتایج به صورت نمودار میله‌ای در شکل ۳ آورده شده است.

$$a = \lambda(\sqrt{(h^2 + k^2 + l^2)}) / 2\sin\theta \quad (6)$$



شکل ۳- تغییرات پارامتر شبکه اسپینل با دما

انتظار می‌رفت با افزایش دما، اسپینل غنی از آلومینا داشته باشیم یعنی  $\text{Al}^{3+}\text{Mg}^{2+}$  جایگزین  $\text{Ti}^{4+}$  در مواضع تراهدرال شود و برای جبران بار، جاهای خالی کاتیونی در مواضع اکتاھدرال ایجاد شود، در نتیجه اندازه شبکه از حالت نرمال شروع به کاهش می‌کند و پیک‌های اشعه X به زوایای بالاتر روند، ولی نتایج نشان داد با افزایش دما پارامتر شبکه اسپینل افزایش یافته است، این مسئله به این علت است که  $\text{Ti}^{4+}$  به دلیل انحلال کامل در اسپینل  $\text{Mg}_2\text{TiO}_4$  (M<sub>2</sub>T) و  $\text{MgAl}_2\text{O}_4$  (MA) وارد شبکه اسپینل شده و در آن حل شده است، به علت اینکه  $\text{Ti}^{4+}$  (۰.۶۸nm) دارای اندازه یونی بزرگتر از  $\text{Al}^{3+}$  (۰.۵۰nm) و  $\text{Mg}^{2+}$  (۰.۶۵nm) می‌باشد، باعث افزایش پارامتر شبکه اسپینل شده و پیک‌های اشعه X به زوایای پایین‌تر می‌روند. اندازه کریستالیت‌های  $\text{Ti}(\text{C},\text{N})$  از رابطه ۷ محاسبه گردید که در این فرمول t سایز کریستالیت، B پهنه‌ای پیک در نصف ارتفاع آن، و  $\theta$  نصف زاویه پراش اشعه X می‌باشد. که نتیجه نشان داد که  $\text{Ti}(\text{C},\text{N})$  با سایز کریستالیت ۴۵nm ایجاد شده است.

$$t = 0.9\lambda / B \cos(\theta) \quad (7)$$

شکل ۴- تصویر SEM نمونه حاوی  $\text{MgO}$ ,  $\text{Al}_2\text{O}_3$ ,  $\text{TiO}_2$  و C پخته شده در دمای ۱۶۰۰ °C در مدت ۳h

شکل ۴ تصویر میکروسکوپ الکترونی نمونه پخته شده در دمای ۱۶۰۰ °C را نشان می‌دهد. مطابق با شکل ذرات  $\text{Ti}(\text{C},\text{N})$  با اندازه متوسط ذرات ۵۰۰nm در زمینه اسپینل تشکیل شده‌اند.

## ۴- نتایج

- امکان تولید پودر کامپوزیتی  $MgAl_2O_4-Ti(C,N)$  با استفاده از مخلوط پودرهای  $MgO$ ,  $Al$ ,  $TiO_2$  و دوده کربن در دمای  $1600^{\circ}C$  وجود دارد.
- با افزایش دما از  $1200^{\circ}C$  تا  $1600^{\circ}C$  پارامتر شبکه اسپینل  $MgAl_2O_4$  افزایش می‌یابد به عواملی چون انجلا $Ti^{4+}$  در آن ارتباط داده شده است.
- سایز متوسط کریستالیت‌های فاز  $Ti(C,N)$  تشکیل شده در  $1600^{\circ}C$ ،  $45nm$  می‌باشد.

## مراجع

1. Ghosh A., Das S. K., Biswas J. R., Tripathi H. S., Banerjee G., "The effect of ZnO addition on the densification and properties of magnesium aluminate spinel", Ceramic international 26(2000), 605-608.
2. Yuechun F., Xianghai M., Weijia Y., Huan H., Xiaoming S., "Microstructure and optical properties of cubic AlN/TiN bilayers deposited by laser molecular beam epitaxy", Vacuum 85 (2011), 1037-1041.
3. Qingyi L., Junqing H., Kaibin T., Bin D., Yitai Q., Guien Z., Xianming L., "The co-reduction route to TiC nanocrystallites at low temperature. Chemical Physics Letters 314 (1999) , 37-39.
4. Xin F., Yu-Jun B., Bo L., Cheng-Guo W., Yu-Xian L., Gui-Li G., Li L, "Easy synthesis of TiC nanocrystallite", Journal of Crystal Growth 264 (2004) , 316-319.
5. Bakker W. T, Lindsay J. G, 1967, "Reactive magnesia spinel, preparation and properties", American Ceramic society bulletin, Vol.46, No.11, 1094-1097.
6. Makino H., obama T., Tsuchnari A., 2005, "Effect of  $TiO_2$  concentration on properties of  $MgO-TiO_2-Al_2O_3$  clinker and  $MgO$  refractories with clinker addition", Jornal of the technical association of refractories 25[2], 105-108.
7. Yuanbing L., Li N., Ruan G., Jianwei L., Xiaohui L., "Effects of technical factors on  $MgAl_2O_4-TiN$  composites produced by aluminothermic reduction and nitridation", Materials and Design 28 (2007) , 969-972.
8. Yuanbing L., Li N., Guozhi R., Xiaohui Li., "Reaction path in the aluminothermic reduction nitridation reaction to synthesize  $MgAl_2O_4/TiN$  composite", Ceramics International 31 (2005) 825-829.
9. Young C. W., Ho-Jae K., Deug J. Kim, "Formation of TiC particle during carbothermal reduction of  $TiO_2$ ", Journal of the European Ceramic Society 27 (2007) 719-722.